



تحلیل آسیب‌پذیری لرزه‌ای ساختمانهای بتنی در زلزله ۱۳۸۲ بهم قسمت اول: مطالعات میدانی

نقدعلی حسینزاده استادیار پژوهشکده سازه پژوهشگاه / محسن قمی فارغ‌التحصیل کارشناسی ارشد، دانشگاه آزاد اسلامی،
دانشکده تحصیلات تکمیلی، واحد جنوب تهران

۲- مقدمه

۱- چکیده

تعداد بیشماری از ساختمانهای بتنی مسلح موجود ساخته شده در دهه های گذشته، بر اساس ویرایشهای قدیمی آیین نامه های زلزله طراحی و اجرا شده اند که عموماً شرایط ضوابط آیین نامه های امرروزی را تأمین نمی کنند. بعلاوه به علت ضعف فناوری ساخت و مشکلات اجرایی، کفايت عملکرد ساختمانهای موجود به عنوان یک سؤال اساسی مطرح است؛ بنابراین ارائه یک روش منطقی و معقول برای ارزیابی لرزه‌ای مجموعه بزرگی از ساختمانهای موجود در مقابل خطر زلزله‌های قوی و مخرب، هم برای صاحبان و ساکنان ساختمانها و هم برای مسؤولین مملکتی بویژه به لحاظ مدیریت بحران امری مهم و اجتناب ناپذیر است.

با توجه به اهمیت موضوع، روشهای مختلفی توسط پژوهشگران ارائه شده است. این روشهای عموماً از دو دیدگاه کیفی و کمی موضوع را مورد بررسی قرار می دهند. روشهای کیفی از سرعت زیاد، ولی دقیق و روشهای کمی بالعکس از سرعت کم، هزینه زیاد و دقیق خوبی برخوردارند. در این مقاله، از یک روش ارزیابی سریع برای مطالعه آسیب‌پذیری دو ساختمان بتنی مسلح آسیب‌پذیری در زلزله بهم استفاده شده است [۱، ۲ و ۳].

هدف اصلی این تحقیق ارائه یک روش تحلیل سریع و ساده برای ارزیابی ایمنی لرزه‌ای ساختمانهای بتنی کوتاه و کم ارتفاع خسارت دیده در زلزله بهم می باشد. در این روش، ارزیابی بر اساس مشخصه نیرو - جایه‌جایی طبقه اول یا ضعیفترین طبقه انجام می‌گیرد. معیار ارزیابی ایمنی سازه بر اساس دو پارامتر مقاومت و شکل پذیری در حالت زلزله قوی و زلزله شدید استوار است. مکانیزم شکست سازه به صورت خمشی، برشی و برشی - خمشی طبقه‌بندی می شود.

در این مقاله، ابتدا مبانی روش ارزیابی سریع معرفی و سپس، مشخصات دو ساختمان آسیب‌پذیر در زلزله بهم از قبیل سیستم‌های باربر قائم و لرزه بر جانبی، بارگذاری و... بر اساس بازدیدهای محلی به منظور مطالعات آسیب‌پذیری لرزه‌ای ارائه شده است. جزئیات خسارات مشاهده شده در این ساختمانها همراه با تصاویر آن مورد بررسی قرار گرفته است. مطالعات تحلیلی شامل مدلسازی دینامیکی غیرخطی و ارزیابی ایمنی لرزه‌ای ساختمانهای مورد نظر در مقاله آتی ارائه خواهد شد.

کلید واژه‌ها: آسیب‌پذیری لرزه‌ای، ساختمانهای بتنی کوتاه، مقاومت، شکل پذیری

۳-۲- معیار ارزیابی ایمنی

بر اساس مراجع موجود، معیار پذیرش (ماتریس معیار) برای زلزله قوی ($PGA=0.3g$) و زلزله شدید ($PGA=0.45g$) در محدوده خسارت تعمیرپذیر و خسارت بدون فرو ریزش مناسب با شکل پذیری سازه در نظر گرفته می شود. این ماتریس بر اساس مکانیزم شکست خمثی، برشی و خمثی-برشی تعریف شده است. در حالت شکست خمثی، مکانیزم شکست ساختمان بر اثر شکست خمثی اعضا تشکیل شده و ساختمان نسبتاً شکل پذیر است. در حالت شکست برشی، مکانیزم شکست بر اثر شکست برشی اعضا تشکیل و ساختمان ترد و بدون شکل پذیر است. در حالت شکست برشی-خمثی، ترکهای برشی در اعضا به وجود می آید؛ اما مکانیزم شکست از نوع خمثی است [۳].

۳-۲-۱- مرحله اول: مدلسازی سازه‌ای

ارزیابی با این مرحله شروع می شود که بیانگر سیستم‌های انتقال بار ثقلی و جانبی است.

۳-۲-۲- مرحله دوم: مدلسازی تحلیلی

در این مرحله، مشخصات بار-تغییرشکل سیستم سازه‌ای تحت اثر نیروی جانبی در محدوده خطی و غیرخطی تعیین می شود. منحنی بار-تغییرشکل، بر اساس مقاومت ترک خوردگی برشی، مقاومت نهایی برشی و مقاومت جاری شدن خمثی بر حسب ضریب برش پایه تعیین می شود. برای محاسبه مقاومت خمثی طبقات از برنامه IDARC استفاده شده است [۴]. در این نرم افزار تحلیل سازه‌های بتی مسلح در مراحل زیر انجام می گیرد:

- ۱- تعیین مشخصات مقاومت و تغییرشکل تمام اجزاء؛
- ۲- تعیین مدشکست تحت بارگذاری استاتیکی افزایشی با استفاده از اطلاعات بند ۱؛
- ۳- تحلیل دینامیکی لحظه به لحظه سازه؛

این روش، ضمن استفاده بهینه از هر دو دیدگاه کیفی و کمی، از سرعت مناسب و دقیق قابل توجهی برای ارزیابی سازه‌های بتی معمولی برخوردار است. در این روش، با استفاده از یک روند مرحله‌بندی شده شبیه غربال کردن مبتنی بر ارزیابی کیفی و کمی به صورت همزمان، مجموعه وسیعی از ساختمانها قابل بررسی بوده و در وقت و هزینه محاسبات صرفه جویی قابل ملاحظه‌ای می شود. در این مقاله، ابتدا مبانی روش ارزیابی سریع و سپس، ارزیابی آسیبهای وارد به دو ساختمان نمونه که خسارتی را بر اثر زلزله به متتحمل شده اندازه‌گردیده است. مطالعات تحلیلی غیرخطی و مقایسه نتایج آن با روش ارزیابی سریع در قسمت دوم مقاله ارائه خواهد شد. این مطالعات، می تواند برای کالیبره کردن روش مورد نظر حائز اهمیت باشد.

۳- روش ارزیابی ایمنی لرزه‌ای

ارزیابی ایمنی ساختمانهای بتی مسلح در پنج مرحله مدلسازی سازه‌ای، مدلسازی تحلیلی، ارزیابی مقاومت ایمنی، ارزیابی شکل پذیری ایمنی و ترکیب ارزیابی ایمنی انجام می گیرد که به خلاصه‌ای از آنها در ادامه اشاره شده است.

۳-۱- اصول ارزیابی ایمنی

ارزیابی سازه‌ای بیان شده در این مقاله، از یک مجموعه مراحل متوالی تشکیل شده است. در اولین مرحله، مشخصه بار-جایه جایی طبقه اول یا ضعیفترین طبقه به صورت تقریبی تعیین می شود. با استفاده از این مشخصه، پاسخ لرزه‌ای سازه به کمک طیف پاسخ خطی برای ارزیابی مقاومت ایمن و طیف پاسخ غیرخطی برای ارزیابی شکل پذیری ایمن به دست می آید. سپس با در نظر گرفتن این دو مؤلفه، ترکیب ارزیابی برای مشخص کردن حاشیه ایمنی سازه به دست می آید. مراحل انجام ارزیابی در پنج مرحله قابل محاسبه است [۱ و ۲ و ۳].

مقاومت برشی متوسط:

$$\tau_{av} = \sqrt{f'_c} + Nd / 6 \quad (6)$$

نیروی برشی طبقه نام:

$$Q_{sci} = \tau_{av} \sum A_j \quad (7)$$

ضریب برش طبقه نام:

$$Q_{sci} = Q_{sci} / \sum W_j \quad (8)$$

در ابتداء (6)، f'_c بر حسب کیلوگرم بر سانتیمتر مربع و در روابط (8) و $\sum A_j$ مجموع مساحت سطح مقطع اعضاً لرزه بر طبقه نام و $\sum W_j$ مجموع وزن طبقه نام و طبقات بالاتر است.

الف - اصلاح ضریب برش پایه: مقاومت جانبی بر حسب ضریب برش پایه با فرض کنترل شکست در طبقه اول ساختمان، معیار اصلی اینمنی در مرحله اول محسوب می‌شود؛ بنابراین اگر شکست در طبقه دیگری غیر از طبقه اول شروع شود، ارزیابی نیاز به اصلاح دارد. چنانچه طبقه‌ای مانند آن قبل از طبقه اول به حد بحرانی بر سرده ضریب برش پایه به صورت زیر اصلاح می‌شود:

$$C_i = Q_i / \sum W \quad (9)$$

$$C_i = C_i / C_1 \quad (10)$$

$$C_{Yi} = C_{Yi} C_{Yi} (n+1) / (n+i) \quad (11)$$

در روابط مذکور، C_i نرمال شده i ، C_{Yi} مقاومت جاری شدن طبقه اول و n تعداد کل طبقات می‌باشد.

ب - پریود طبیعی: پریود طبیعی ساختمان به طور تقریبی معادل $n(0.06\sim 0.1)$ انتخاب می‌شود که در آن n تعداد طبقات ساختمان است.

۳-۲-۳- مرحله سوم: ارزیابی مقاومت اینمنی

به منظور ارزیابی اینمنی به روش سریع، ضریب برش پایه مقاوم با ضریب برش پایه حاصل از پاسخ غیر خطی مقایسه می‌شود. برای انجام این کارابتدا، باید طیف پاسخ غیر خطی و سیستم تک جرمی معادل محاسبه شوند. سپس ضریب

۴- تحلیل نهایی خسارت در اجزای طبقات و کل سازه.

لنگر ترک خوردگی (M_c)، لنگر حد تسیلیم (M_y) و لنگر نهایی (M_u) از روابط تجربی (۱ تا ۵) به دست می‌آیند:

$$M_c = 11Z_e \sqrt{f'_c} + Nd / 6 \quad (1)$$

$$M_y = 0.5f'_c bd_2 [(1+\beta_c - \eta)n_o + (2-\eta)P_t + (\eta-2\beta_c)\alpha_c P'_t] \quad (2)$$

$$M_u = (1.24 - 0.15P_t - 0.5n_o) M_y \quad (3)$$

$$P_t = (A_t f_y) / (f'_c bd), P'_t = (A_c f_y) / (bd f'_c), n_o = N / (bd f'_c), \quad (4)$$

$$\alpha_c = \varepsilon_y / \varepsilon_o$$

$$\beta_c = d_c / d, \alpha_c = (1 - \beta_c) \varepsilon_c / \varepsilon_y - \beta_c \leq 1, \quad (5)$$

$$\eta = 0.75 / (1 - \alpha_c) [\varepsilon_c / \varepsilon_o]^{0.7}$$

در روابط مذکور، Z_e مدول مقطع در حدارت جاعی، f'_c مقاومت مشخصه بتن بر حسب ksi، N بار محوری ستون، b پهنای مقطع، d عمق محاسباتی مقطع، d ضخامت پوشش بتن برای میلگرد های فشاری، A_c مساحت میلگرد های کششی، f_y مقاومت حد تسیلیم فولاد (بر حسب ksi)، A_y مساحت میلگرد های فشاری، ε_y کرنش حد تسیلیم فولاد، ε_u کرنش بتن در حد مقاومت مشخصه و ε_u کرنش دورترین تار فشاری بتن است. در محاسبه لنگر تسیلیم فولاد ها و انحنای مربوط به آن، فرض می شود بتن فشاری در حدارت جاعی باقی مانده و فولاد کششی جاری می شود. علاوه بر آن، توزیع کرنش در مقطع خطی فرض شده است.

برای محاسبه ضریب برش پایه در یک سیستم قاب خمسی، فرض می شود که مفاصل خمیری در انتهای اعضا تشکیل شود. با انتخاب توزیع نیروی جانبی به صورت یکنواخت یا مثلثی در ارتفاع طبقات، ضریب برش پایه در حالات مختلف مفصلهای خمیری با استفاده از معادلات تعادل به دست می آید. کمترین مقدار به عنوان ضریب برش پایه انتخاب و مقاومت ترک خوردگی بر شی نیز با استفاده از روابط (۶، ۷ و ۸) محاسبه می شود:

۳- حلقه هیسترزیس سه خطی کاهنده اصلاح شده برای شکست نوع برشی - خمی.

دو فرض اصلی برای تعیین یک سیستم تک جرمی معادل عبارتند از:

- فقط مداول ارتعاش در پاسخ سازه حاکم است؛

- یا همه طبقات به طور همزمان به مرحله بحرانی می‌رسند، یا ابتدا طبقه اول؛ بنابراین:

$$K_c = C_{scl} \left[\sum W_i / (\sum \beta_{ui}) W_i \right] \quad (12)$$

$$K_y = C_{byl} \left[\sum W_i / (\sum \beta_{ui}) W_i \right] \quad (13)$$

در روابط مذکور، K_y به ترتیب مقاومت برش پایه سیستم تک جرمی معادل در حالت ترک خوردگی برشی یا جاری شدن خمی و β_{ui} ضریب مشارکت مدی طبقه i از مداول اول سازه است. پاسخ جابه جایی سیستم تک جرمی معادل حاصل از طیف پاسخ غیرخطی به کمک روابط (۱۴، ۱۵ و ۱۶) به پاسخ جابه جایی طبقه اول ساختمان تبدیل می‌شود:

$$B\delta_C = (\beta_u)_l \delta_C \quad (14)$$

$$B\delta_{max} = (m.f)(\beta_u)_l \delta_{max} \quad (15)$$

$$B\mu_1 = (m.f)\mu_0 \quad (16)$$

در این روابط، $B\delta_C$ جابه جایی طبقه اول در مرحله ترک خوردگی برشی، δ_C جابه جایی سیستم تک جرمی معادل در مرحله ترک خوردگی، $B\delta_{max}$ حداقل جابه جایی طبقه اول، δ_{max} ضریب حداقل جابه جایی سیستم تک جرمی معادل، μ_1 ضریب شکل پذیری طبقه اول، $m.f$ ضریب اصلاح شکل مد در محدوده غیرخطی و μ_0 ضریب شکل پذیری سیستم تک جرمی معادل می‌باشد. اگر تمام طبقات همزمان به مرحله ترک خوردگی برسند می‌توان $m.f$ را برابر ۱ در نظر گرفت؛ ولی اگر طبقه اول زودتر به مرحله ترک خوردگی برسد، $m.f > 1$ خواهد بود.

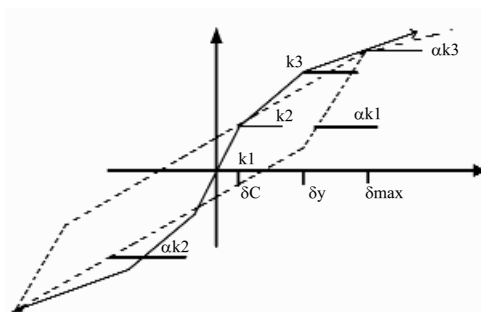
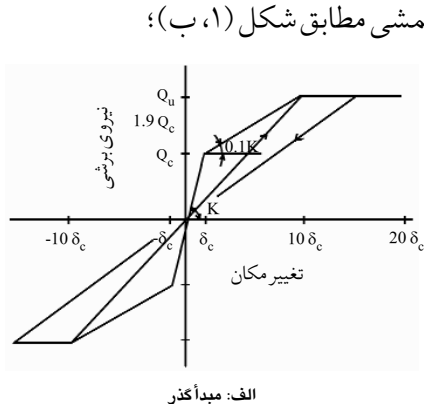
شکل پذیری طبقه اول ساختمان با اعمال ضرایب شرکت مدی، به دست آمده و با ضابطه تعیین شده برای شکل پذیری این من، مورد ارزیابی قرار می‌گیرد. اگر نتیجه به دست آمده نامعین باشد، ارزیابی دقیقتر در مراحل بعدی ضروری خواهد بود.

۴-۲-۳- مرحله چهارم: ارزیابی شکل پذیری این من

در این مرحله جابه جایی طبقه اول با استفاده از طیف پاسخ غیرخطی و ضرایب مشارکت مدی اصلاح شده (برای در نظر گرفتن رفتار غیرخطی ساختمان) به دست می‌آید. طیف پاسخ غیرخطی بر اساس نوع مدل هیسترزیس تهیه می‌شود که خود بستگی به نوع شکست دارد. با توجه به نتایج تجربی سه نوع مدل هیسترزیس، پیشنهاد شده که از یک منحنی پوش سه خطی پیروی کنند. این مدل‌ها عبارتند از [۱، ۲ و ۳]:

۱- حلقه هیسترزیس مبدأ گذر برای شکست نوع برشی مطابق شکل (۱، الف):

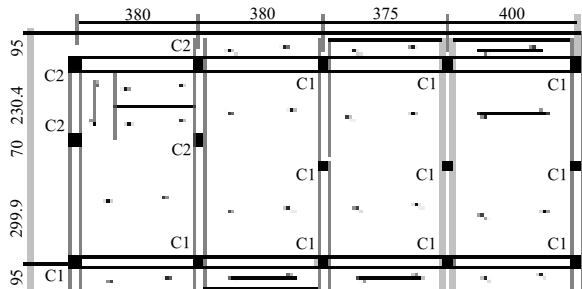
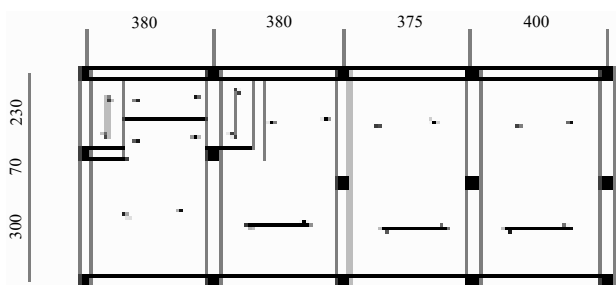
۲- حلقه هیسترزیس سه خطی کاهنده برای شکست نوع خمی مطابق شکل (۱، ب):



شکل (۱): حلقه‌های هیسترزیس

۴- مشخصات ساختمانهای مورد مطالعه و کنترل‌های آئین نامه‌ای

دو ساختمان در حال احداث که مراحل نهایی ساخت را می‌گذرانند برای پژوهش انتخاب گردیدند. نمای کلی و پلان اندازه‌گذاری این ساختمانها در تصویرهای (۱) و (۲) نشان داده شده است. سیستم سازه‌ای هر دو ساختمان از نوع قاب خمی بوده و سقف آنها از نوع تیرچه بتنی با بلوكهای سفالی ساخته شده است. در طبقه همکف هر دو ساختمان دیوار اجرا شده بود؛ ولی در بقیه طبقات دیوارهای خارجی و تیغه‌ها اجرا نشده بودند. همچنین، کف سازی ساختمانها هنوز اجرانشده بود. پی‌هانیز به صورت منفرد می‌باشند.



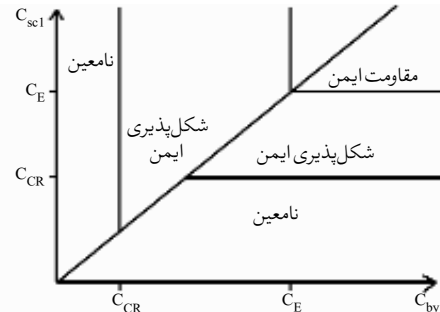
تصویر (۱): ساختمان شماره ۱ بعد از زلزله بم و پلان آن

۳-۵-۲- مرحله پنجم: توکیب ارزیابی اینمنی

بانجام این مرحله برای ارزیابی اینمنی می‌توان به جمع‌بندی نهایی دست یافت:

- طبقه‌بندی نوع شکست؛
- پهنه‌بندی با ارزیابی مقاومت اینمن؛
- پهنه‌بندی با ارزیابی شکل‌پذیری اینمن.

با رسم نتایج در نمودار شکل (۲) می‌توان به ارزیابی آسیب‌پذیری سازه تحت زلزله‌های قوی و شدید اقدام نمود.



شکل (۲): ارزیابی مقاومت و شکل‌پذیری اینمن

$$\mu_0 = \delta_{\max} / \delta_y \quad (17)$$

حداقل مقاومت جاری شدن طبقه اول:

$$C_{cr} = \left[\left[\sum (\beta_u)_i W_i \right] / \sum W_i \right] (\alpha_0 \text{Kg}) \quad (18)$$

ضریب برش پایه:

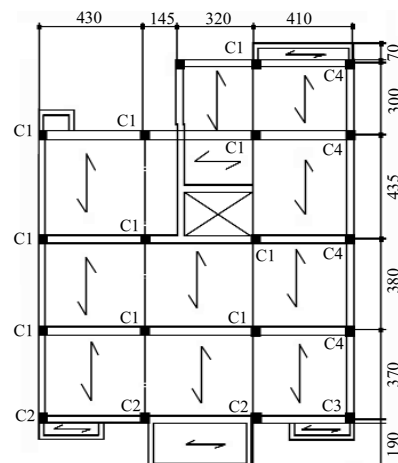
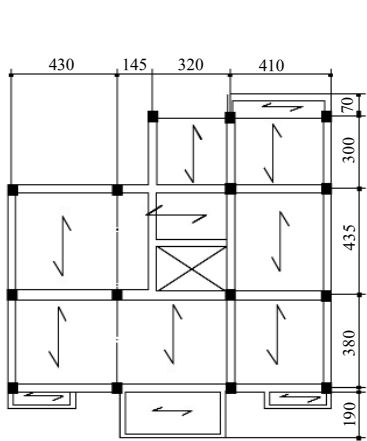
$$C_E = \left[\left[\sum (\beta_u)_i W_i \right] / \sum W_i \right] (S_a g) \quad (19)$$

در روابط (۱۷)، (۱۸) و (۱۹)، δ_{\max} حداکثر جابه‌جایی سیستم تک جرمی معادل، δ_y جابه‌جایی جاری شدن، α_0 ضریب عددی حاصل از طیف غیرخطی، S_a شتاب طیف پاسخ خطی (طیف آئین نامه ۲۸۰۰) و β_{ui} ضریب مشارکت مدی است که برای ساختمانهای سه و چهار طبقه برابر است با: برای ساختمان سه طبقه:

$$\beta_{u1} = 0.538, \beta_{u2} = 0.98, \beta_{u3} = 1.2$$

برای ساختمان چهار طبقه:

$$\beta_{u1} = 0.431, \beta_{u2} = 0.809, \beta_{u3} = 1.091, \beta_{u4} = 1.214$$



تصویر (۲): ساختمان شماره ۲ بعد از زلزله به ویلان آن

مطالعه در جدول (۲) خلاصه شده است. ارزیابی اولیه طرح، مبین قابل قبول بودن ستونهای طبقه اول این دو ساختمان می باشد.

مهمترین مشخصات هندسی، مکانیکی و دینامیکی ساختمانهای مورد نظر بر اساس استاندارد ۲۸۰۰ و آیین نامه بارگذاری ایران در جدول (۱) خلاصه شده است [۵ و ۶]. در این جدول، A ضریب شتاب زلزله ساختگاه، I ضریب اهمیت ساختمان، R ضریب رفتار ساختمان، P_0 پریود خاک ساختگاه، V پریود اصلی سازه، $B = 2.5(T_0/T)^{2/3}$ ضریب بازتاب زلزله، C ضریب زلزله، $T_1 = 1.25T$ ضریب افزایش ارتفاع ساختمان و H پریود تجربی برای تخمین پریود تحلیلی) می باشد. ابعاد هندسی مقاطع تیرها و ستونهای ساختمانهای مورد می باشد.

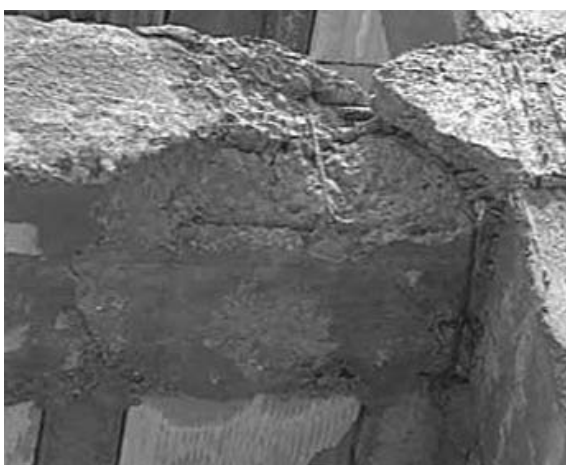
جدول (1): مشخصات ساختمانهای مورد مطالعه (بر حسب کیلوگرم - متر)

شماره ساختمان	A	I	R	T	T	T1	H	B	C	بار مرده طبقات و بام	بار زنده طبقات	بار زنده بام	F	f'c	جایه جایی جانبی مجاز
۰/۰۸۷	۳E7	۱۹E5	۱۵۰	۲۰۰	۵۲۰	۰/۱۲	۲/۲۱	۱۳	۰/۶	۰/۴۸	۰/۵	۵	۱	۰/۳	۱
۰/۰۶۴	۳E97	۲۱E5	۱۵۰	۲۰۰	۵۲۰	۰/۱۷	۲/۴۳	۱۰/۴	۰/۵۲	۰/۴۱	۰/۵	۵	۱	۰/۳	۲

جدول (٢): مشخصات تیرها وستونها (برحسب سانتیمتر)

تیرها				ستونهای طبقه سوم و چهارم				ستونهای طبقه اول و دوم				شماره ساختمان
میلگرد عرضی	میلگرد طولی	میلگرد طولی	ابعاد	میلگرد عرضی	میلگرد طولی	میلگرد طولی	ابعاد	میلگرد عرضی	میلگرد طولی	میلگرد طولی	ابعاد	
Φ6@٣٠	٦Φ١٨	٣٠×٣٠	Φ6@ ٣٠	٨Φ١٨	٣٥×٣٥	Φ6@ ٣٠	٨Φ١٨	٣٨×٣٨	١			
Φ6@٣٠	٦Φ١٨	٣٥×٣٥	Φ6@ ٣٠	٦Φ١٨	٣٧×٣٥	Φ6@ ٣٠	٨Φ١٨	٣٧×٣٥	٢			

به صورت خرد شدگی بتن پوشش میلگرد تیرها ظاهر شده بود. نمونه‌ای از این گونه خسارات در تصویر (۴) ملاحظه می‌شود. علت این گونه خسارات، استفاده از خاموتهای با قطر کم (۶ میلیمتر) در فواصل زیاد (۳۰ سانتیمتر) بوده است که مقررات آیین‌نامه‌ای را تأمین نمی‌کنند [۷].



تصویر (۴): ترکهای برشی یا خرد شدگی بتن پوشش تیرها در محل اتصال به ستونها

۳-۵ - استفاده از تیرچه به جای تیر در قابهای خمی

در قابهای داخلی هر دو ساختمان مورد مطالعه از تیرچه‌ها، به جای تیر اصلی لرزه بر استفاده شده است. نمونه‌ای از این اجرای نادرست در تصویر (۵) نشان داده شده است. در این گونه موارد، فقط قابهای کناری که تیر مستقل دارند، می‌توانند نیروی جانبی زلزله را تحمل کنند.

مورد نظر دچار شکست کلی و فرو ریزش کامل نشده‌اند؛ بنابراین، در مقایسه با ساختمانهای فلزی مشابه در محل، تلفات جانی کمتری را سبب می‌شوند. لازم به ذکر است که بخش عمدۀ بارگذاری شامل وزن طبقات، وزن اسکلت و دیوار چینی زیرزمین و طبقه اول در این ساختمانهای در حال ساخت اعمال شده بود و تنها بارهای تیغه‌بندی و پوشش عایق با مانده بود. به مهمترین خسارات این ساختمانها در قسمتهای بعد اشاره شده است.

۱-۵ - فرو ریختن دال‌های راه پله در ساختمان ۱

دال‌های راه‌پله از سه عدد تیرچه تشکیل شده بودند. به دلیل مهار نشدن میلگرد تیرچه‌های در داخل تیرها و ستونها (طول مهاری کم)، این دال‌ها مطابق تصویر (۳) دچار شکست شده‌اند. اگرچه به نظر می‌رسد بار عایت طول مهاری می‌توان از شکست به وجود آمده جلوگیری نمود، ولی استفاده از تیرچه به جای تیر شمشیری و دال بتنه در راه‌پله‌های مذکور گزینه مناسبی نیست.



تصویر (۳): فرو ریختن دال‌های راه‌پله در ساختمان ۱

۲-۵ - ترکهای برشی تیرها در محل اتصالات تیر-ستون

ترکهای برشی ۴۵ درجه در تیرهای دو طرف اتصال تیر-ستون یکی از خسارات معمول می‌باشد که در هر دو ساختمان مشاهده شده است. در بعضی از موارد، خسارت

۵-۵- ضعف مهار و پیوستگی میلگردها

مهار و پیوستگی میلگردها در داخل بتن یکی از موارد مهم و اساسی در ساختمانهای بتونی مسلح محسوب می‌شود. در بسیاری از موارد، حداقل پوشش بتن روی میلگردها طبق ضوابط آبا تأمین نشده است [۷]. علاوه بر آن، میلگردهای اصلی تیرها فاقد قلاب انتهایی در محل اتصال به ستون و گره می‌باشند. نمونه‌ای از ضعف مهار و پیوستگی میلگردها در (تصویر ۷) نشان داده شده است.



تصویر (۷): کمبود پوشش بتونی و فقدان خم انتهایی در میلگردهای اصلی تیرکه بیرون از محل اتصال به ستون قرار دارند.



تصویر (۵): استفاده از تیرچه به جای تیر در قابهای خمشی

۴-۵- کیفیت نامطلوب بتن و بتون ریزی غلط

ویژه نکردن بتن مخصوصاً در محل اتصال تیر به ستون از اشکالات اجرایی مهمی است که در هر دو ساختمان قابل مشاهده بود. نمونه‌ای از این اشکالات در تصویر (۶) نشان داده شده است. این گونه اشکالات بیانگر عدم نظارت کافی و مؤثر در امر ساخت و ساز می‌باشد. مشابه این گونه اشکالات در سراسر کشور وجود دارد.



عدم رعایت خاموت‌گذاری ویژه در ناحیه بحرانی تیرها و ستونها (ناحیه مفصلهای پلاستیک) علاوه بر عدم تأمین مقاومت برشی و شکل‌پذیری لازم در مقابل زلزله، محصور شدگی کافی را نیز تأمین نکرده است. نمونه‌ای از آثار این کمبود به صورت ترک‌خوردگی و شکست در بتون پوشش میلگردها مطابق تصویر (۸) در ستونهای گوشه ملاحظه می‌شود. این ستونهای در



تصویر (۶): کیفیت نامطلوب بتن و بتون ریزی غلط

ساختمانهای بتنی مورد مطالعه، در زلزله به انسجام و یکپارچگی نسبی داشته، دچار انهدام و فرو ریزش کلی نشده‌اند. تجربیات زلزله‌های گذشته نشان می‌دهد که وجود حداقل چهار میلگرد یکسره در تیرهای توانداز فروریختن سقفها و در نتیجه از تلفات جانی جلوگیری کند.

مقایسه با دیگر ساختهای داخلی و کناری اغلب رفتار نامساعدی داشته‌اند که عموماً از تأثیر نیروهای زلزله در جهات متعامد و اثرهای پیچش ساختمان ناشی می‌شود.



تصویر(۸): تکهای برشی در ساختهای گوشیده ناشی از پیچش و مؤلفه‌های متعامد زلزله

۷- مراجع

- 1.Umemura, et. al. (1973). Earthquake resistant design of reinforced concrete buildings accounting for the dynamic effects of earthquakes [Technical Report]. Giho-do, Tokyo,
- 2.Aoyama, H. et. al. (1973). A study on the earthquake resistant design of reinforced concrete school buildings. *Proc. of U.S.-Japan Seminar on earthquake engineering*. Berkeley, California.
۳. ناطقی الهی، فریبرز؛ حسینزاده، نقدعلی. (زمستان ۱۳۸۰). ارزیابی مقاومت و شکل‌پذیری ساختمانهای بتنی مسلح کوتاه، استقلال، سال ۲۰، شماره ۲، ۵۵ تا ۷۵.
۴. ناطقی الهی، فریبرز؛ حسینزاده، نقدعلی. (۱۳۷۸). روشی برای ارزیابی آسیب‌پذیری لزهای ساختمانهای بتن مسلح دارای دیواربرشی [گزارش]. کمیته فرعی- تخصصی مقابله با خطرات ناشی از زمین‌لرزه و لغزش لایه‌های زمین. تهران: مرکز پژوهش و مطالعات سوانح طبیعی.
۵. مرکز تحقیقات ساختمان و مسکن. (۱۳۷۸). آین نامه طرح ساختمانهای برابر زلزله- استاندارد ۲۸۰۰ زلزله ایران. تهران: مؤلف.
۶. دفتر تدوین و ترویج مقررات ملی. (۱۳۷۹). آین نامه حداقل بار وارد بر ساختمانها و اینیه فنی (تجدد نظر در استاندارد ۵۱۹). تهران: مؤلف.
۷. سازمان مدیریت و برنامه‌ریزی کشور. (۱۳۸۲). آین نامه بتن ایران، نشریه شماره ۱۲۰، چاپ چهارم. تهران: مؤلف.▶

۶- نتیجه گیری

با عنایت به خسارات مشاهده شده در ساختمانهای بتنی مورد مطالعه می‌توان گفت که در مجموع خسارات این گونه ساختمانها هم به ضعف جزئیات طراحی و هم به اشکالات متعدد اجرایی مربوط می‌شود. به علت عدم نظارت و کنترل کافی و مؤثر و همچنین در دسترس نبودن مدارک طراحی و نقشه‌های اجرایی (چون ساخت) نمی‌توان اشکالات طراحی و اجرایی را از هم جدا کرد. به هر صورت، وضعیت موجود نشان می‌دهد که اساساً توجه جدی به ضوابط طرح لزهای این گونه ساختمانها و جزئیات لازم برای تأمین شکل‌پذیری نظری خاموت گذاری ویژه در تیرها و ستونهای قابهای خمی به عمل نمی‌آید. این گونه اشکالات همراه با بتن ریزی غلط (بدون ویبره) با کیفیت نامطلوب و خلل و فرج زیاد و عدم تأمین پوشش بتنی لازم برای میلگردهای اصلی تیرها و ستونهای ضعفهای اصلی محسوب می‌شوند. با وجود همه این اشکالات،